

## Kapitola 3

# Diagnostika s obrazovým výstupem

V oblasti lékařské diagnostiky se v posledních letech uplatňují nové metody zobrazování, jež by nemohly vzniknout bez počítačové podpory při transformaci primárních dat produkovaných fyzikálními detektory na diagnosticky upotřebitelné obrazové výstupy. Jedná se ultrazvukovou sonografii (US), počítačovou tomografií (CT), magnetickou rezonancí (MRI, fMRI), radioizotopové scintigrafické metody (planární scintigrafie, SPECT, PET). Všechny uvedené metody jsou v současné medicínské praxi úspěšně používány díky expandujícímu rozvoji, který v poslední době nastal hlavně v oblasti detektorů záření a informačních technologií při zpracování velkých objemů dat. V oblasti diagnostiky je proto nutná úzká spolupráce mezi medicínou, fyzikou a informatikou.

Z pochopitelných důvodů je zde prostor pouze pro fyzikální a informatické základy uvedených metod. Další poučení může čtenář získat např. z monografií [6, 7, 28].

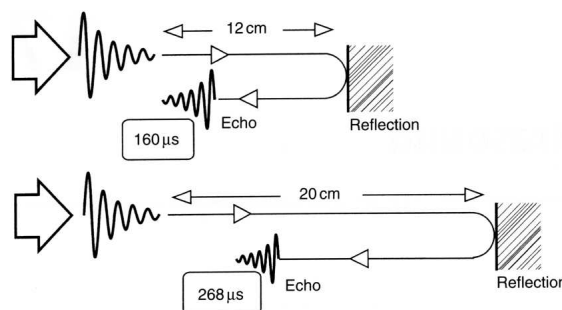
### 3.1. Ultrazvuková sonografie

Zvukové vlny vysoké frekvence (2.5–40 MHz)<sup>1</sup> mohou poskytovat 2D obrazové informace o tkáních *in vivo*. Dají se využít také pro funkční zobrazování v živých tkáních, např. na základě Dopplerova jevu. Zobrazování pomocí ultrazvuku (*sonografie*) je podobné nejběžnější zobrazovací metodě pomocí X-záření v tom, že využívá fyzikálního agens schopného prostupovat (pokud možno bez poškození) tkáněmi, liší se však v několika základních aspektech:

- Ultrazvuk, jakožto mechanické vlnění, potřebuje látkové prostředí, v němž se šíří.
- Na rozdíl od X-záření, jež je zářením elektromagnetickým, je ultrazvuk podélňím vlněním, a jeho vlnová délka je podstatně větší. Pro frekvenci 2 MHz je vlnová délka v měkké tkáni 0.75 mm, pro frekvenci 10 MHz je vlnová

---

<sup>1</sup> Pro srovnání, horní mez slyšitelnosti je pro lidské ucho okolo 20 kHz, u dětí až 40 kHz.



**Obrázek 3.1.** K echolokačnímu principu ultrazvukové sonografie. Ultrazvukový puls odražený od vzdálenějšího rozhraní potřebuje delší dobu pro návrat echo a vyvolání odezvy v detektoru. Z časové prodlevy mezi vysláním pulsu a detekcí echo lze lokalizovat rozhraní. Převzato z [28].

délka 0.15 mm. Pro srovnání, charakteristické vlnové délky X-záření při urychlovacím napětí okolo 100 kV jsou  $10^7 \times$  větší.

- Pro zobrazování se namísto prošlého vlnění jako u rentgenového zobrazování využívá odraženého vlnění.

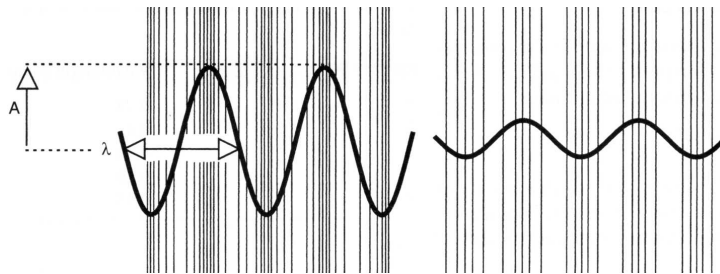
Ultrazvukový signál je vytvářen elektrickou stimulací krystalického materiálu. Jeho mechanické oscilace se přes vrstvu kontaktního gelu přenášejí do tkáně. Vzduch a různé druhy tkání (měkké tkáně, tuk, krev, mozek, svaly, kosti, apod.) se liší mechanickými vlastnostmi ovlivňujícími šíření ultrazvukových vln. Na rozhraní dvou různých tkání dochází k více či méně silnému odrazu ultrazvukové vlny. Zdroj ultrazvukového vlnění (transducer) vysílá posloupnost krátkých ultrazvukových pulsů a po vyslání každého pulsu se přepne do „naslouchacího“ režimu, v němž zaznamenává odražené pulsy (echo) přicházející z nitra vyšetřovaného organismu. Na základě časové prodlevy mezi vysláním pulsu a detekcí echo, intenzity echo a směru, z nichž echo přicházejí, se konstruuje obraz. Tento echolokační princip je schematicky zachycen na obrázku 3.1.<sup>2</sup>

### 3.1.1. Základní pojmy ultrazvukové akustiky

V této sekci připomeneme základní pojmy z akustiky, jež jsou nezbytné pro pochopení ultrazvukové sonografie.

V plynném či kapalném prostředí se zvuk šíří ve formě *podélných* (longitudálních) vln, v pevném skupenství je možná i forma *příčných* (transverzálních) vln.

<sup>2</sup> Princip ultrazvukové echolokace není v přírodě neznámý — ultrazvukových vln o frekvencích 50–200 kHz používají k echolokaci netopýři. Vlastní medicínská aplikace ultrazvuku se vyvinula z vojenské technologie — sonaru („sound navigation and ranging“) pro lokalizaci nepřátelských ponorek [29]. Maximální frekvence zvuku leží okolo 600 MHz [28].



**Obrázek 3.2.** Místa zhuštění a zředění (a jim odpovídající malé změny výchylek a rychlostí molekul ve směru šíření) se šíří zleva doprava (nebo obráceně) fázovou rychlostí  $c$  jako podélná vlna. Ačkoli samy molekuly prostředí konají pouze malý oscilační pohyb okolo rovnovážné polohy, vlna sama přenáší energii a hybnost. Levý (pravý) panel reprezentuje vlnu s vysokou (nízkou) amplitudou a intenzitou. Převzato z [28].

Vzhledem k oblasti aplikací ultrazvuku v medicíně — vyšetření měkkých tkání, jež se svými vlastnostmi blíží spíše kapalině než pevnému skupenství — nás zde zajímají jen podélné vlny. Podélné vlny si můžeme představit takto: zařídíme-li nějakými vhodnými okrajovými podmínkami mechanické oscilace na povrchu tkáně, energie těchto oscilací se šíří do tkání postupným přenášením pohybu na sousedící molekuly tak, že výchylka molekul je rovnoběžná se směrem šíření rozruchu.<sup>3</sup> Ačkoli samotné molekuly konají v daném, zafixovaném místě jen malý oscilační pohyb okolo rovnovážné polohy, samotný oscilační rozruch, zahrnující kromě změny polohy molekul také malou změnu rychlosti, hustoty a tlaku, se šíří fázovou rychlostí  $c$  zavisející na mechanických vlastnostech tkáně — takový pohyb nazýváme vlnovým. Kinematicky je vlnový pohyb popsán frekvencí  $f$  (počet cyklů detekovaných pozorovatelem na fixním místě za jednu sekundu), případně periodou  $T = 1/f$ , vlnovou délkou

$$\lambda = \frac{c}{f} \quad (3.1)$$

a amplitudou  $A$ . Názorná představa podélné zvukové vlny je znázorněna na obrázku 3.2. Rychlosti šíření pro některá medicínsky důležitá prostředí jsou uvedeny v tabulce 3.1.

Prostředí, v němž se vlna šíří, není bezztrátové; energie nesená vlnou je disipována na teplo a intenzitu, amplituda a další veličiny spojené s energií vlny (tlakové a hustotní změny, oscilační rychlost) klesají. Obrázek 3.2 zobrazuje rovinou vlnu, jejíž plochy konstantní amplitudy (vlnoplochy) jsou roviny kolmé

<sup>3</sup> Molekuly kmitají podél směru šíření, odtud název podélné vlnění.

**Tabulka 3.1.** Rychlosť šírenia zvuku, hustota hmotnosti, akustická impedance a absorpcie pre niektorá medicínsky dôležitá prostredí. Hodnoty sú pouze orientačné a platia pre teplotu lidského organizmu. Zpracované podľa [28].

Prostredí	Rychlosť zvuku $c [\text{m}\cdot\text{s}^{-1}]$	Hustota $\varrho [\text{kg}\cdot\text{m}^{-3}]$	Akustická impedance $Z [10^6 \text{kg}\cdot\text{m}^{-2}\cdot\text{s}^{-1}]$	Absorpce (1 MHz) $\alpha [\text{dB}\cdot\text{cm}^{-1}]$
Vzduch	330	1.3	0.00043	–
Tuk	1470	970	1.42	0.6
Ricinový olej	1500	933	1.40	–
Voda	1492	1000	1.48	–
Měkká tkáň	1500	< 1000	~ 1.45	1.0
Mozek	1530	1020	1.56	0.85
Krev	1570	1020	1.60	0.18
Ledviny	1561	1030	1.61	–
Játra	1549	1060	1.64	0.9
Svaly	1568	1040	1.63	1.2 (3.3)*
Oční čočka	1620	1130	1.83	2.0
Kost	4080	1700	6.12	20.0

\*Podél (napříč) svalových vláken.

na smer šírenia; v prípade sférické vlny šíriací sa z určitého bodu majú vlnoplochy sférický tvar a jejich povrch sa zvietšuje s druhou mocninou vzdialosti. Intenzita vlny proto v dôsledku zákona zachovania energie musí klesať ako prievrácená hodnota kvadrátu vzdialosti, amplituda a akustický tlak musí klesať nepriamo úmerné vzdialosti (viz ďalej).

Libovolný prubeh akustické výchylky lze lineárne rozložiť pomocí *Fourierovej transformace* (D.23) do harmonických složiek popsaných funkciemi sinus a kosinus; stačí proto zabývať sa vlnou s harmonickým prubehom šíriací sa ve smere osy  $x$

$$u(x, t) = u_{\max} \cos 2\pi f \left( t - \frac{x}{c} \right), \quad (3.2)$$

kde  $u_{\max}$  je amplituda výchylky z rovnovážnej polohy. Okamžitá akustická rychlosť kmitajúcich častíc prostredí podľahá zákonitosti podobnej (3.2), ovšem s amplitudou rychlosťi  $v_{\max}$ , pro niž derivací (3.2) podľa času dostaneme

$$v_{\max} = 2\pi f u_{\max}. \quad (3.3)$$

Typická velikosť je řádově niekoľko desítek milimetrov za sekundu. Akustická vlna je provázena, krom výchylek častic prostredí (3.2) a oscilacii rychlosťi s amplitudou (3.3), také oscilacii tlaku kolem strednej hodnoty, a to s amplitudou [20]

$$p_{\max} = \varrho c v_{\max}, \quad (3.4)$$

kde  $\varrho$  je hustota hmotnosti a  $c$  rychlosť zvuku v prostredí.<sup>4</sup> Oscilačné změny tlaku s amplitudou (3.4) nazýváme *akustickým tlakem*. Typická hodnota je několik setin MPa.

Okamžitá intenzita zvuku je zvuková energie prošlá za jednotku času jednotkovou plochou kolmou ke směru šíření ve fixním místě se souřadnicí  $x$ ,  $I(t) = \varrho c v^2(t)$ . Taková intenzita však není příliš užitečná; její hodnota kolísá mezi nulou a maximální hodnotou odpovídající kladným i záporným extrémům rychlosti  $\pm v_{\max}$ . Místo ní se zavádí intenzita  $I$  vystředovaná přes jednu periodu  $T = 1/f$ ; protože střední hodnota z kvadrátu sinu či kosinu je rovna  $1/2$ , je taková vystředovaná intenzita rovna

$$I = \frac{1}{2} \varrho c v_{\max}^2 = \frac{1}{2} p_{\max} v_{\max} . \quad (3.5)$$

Zavedeme-li *efektivní hodnoty* akustické rychlosti a tlaku

$$v_{\text{ef}} \equiv \frac{v_{\max}}{\sqrt{2}}, \quad p_{\text{ef}} \equiv \frac{p_{\max}}{\sqrt{2}}, \quad (3.6)$$

můžeme vztah pro střední intenzitu (3.5) napsat ve tvaru

$$I = \varrho c v_{\text{ef}}^2 = \frac{p_{\text{ef}}^2}{\varrho c} = p_{\text{ef}} v_{\text{ef}} . \quad (3.7)$$

Jednotkou intenzity je v soustavě SI  $\text{W} \cdot \text{m}^{-2}$ , avšak praktickou jednotkou pro ultrazvukovou sonografii je  $\text{mW} \cdot \text{mm}^{-2}$ . Typické intenzity pro medicínský ultrazvuk jsou mezi  $0.01 \text{ mW} \cdot \text{mm}^{-2}$  a  $1 \text{ mW} \cdot \text{mm}^{-2}$  [28]. Akustická intenzita není na průřezu ultrazvukovým polem konstantní, nýbrž má maximum uprostřed (SP = spatial peak) a průměrnou intenzitu označovanou jako SA = spatial average intensity.

Pro porovnání dvou intenzit  $I_1, I_2$  se obvykle používá logaritmické škály v *decibelech* definované pomocí dekadických logaritmů jako

$$L = 10 \log \frac{I_2}{I_1} . \quad (3.8)$$

Označuje-li například  $I_2$  intenzitu odražené vlny rovnou 0.0001 násobku intenzity dopadající vlny  $I_1$ , je  $L = -40 \text{ dB}$ . *Poločlouštka* materiálu je tloušťka, na které intenzita klesne na polovinu; a protože  $\log 0.5 \approx 0.3$ , říkáme, že klesne o 3 dB. Další užitečné hodnoty pro logaritmickou míru v dB jsou v tabulce 3.2.

---

<sup>4</sup> Ve skutečnosti ve vlně osciluje také tlak s amplitudou  $\varrho_{\max} \ll \varrho$  okolo rovnovážné hodnoty  $\varrho$ . Součin amplitud  $\varrho_{\max} v_{\max}$  je malá veličina druhého řádu, kterou zanedbáme vzhledem k veličině prvního řádu  $\varrho v_{\max}$ .

**Tabulka 3.2.** Tabulka často užívaných přibližných hodnot decibelů. Například změna o  $+3\text{ dB}$  znamená násobení faktorem  $\sim 2$ , změna o  $-3\text{ dB}$  znamená násobení faktorem  $\sim 1/2$ . Jiné hodnoty než jsou uvedeny v tabulce vhodně rozložíme, např. změna o  $15\text{ dB}$  rozložíme do změn o  $10\text{ dB}$  a  $5\text{ dB}$  a vynásobíme odpovídající faktory  $10 \times 3 = 30$ .

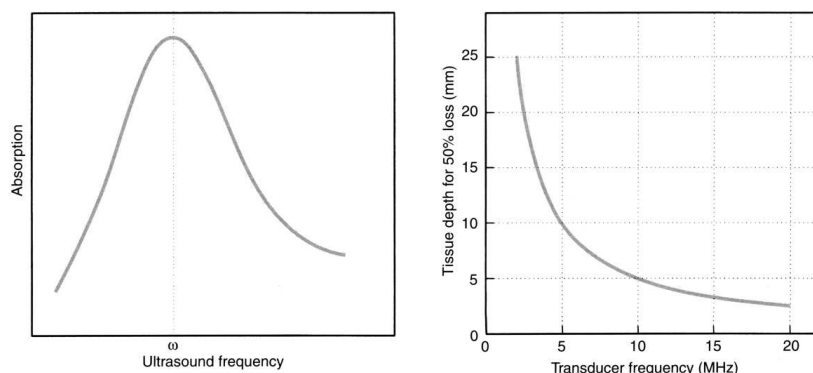
dB	faktor	dB	faktor
$\pm 3$	2	$\pm 7$	5
$\pm 5$	3	$\pm 9$	8
$\pm 6$	4	$\pm 10$	10

Na útlumu ultrazvuku se podílejí dva procesy: *absorpce* v tkáni, jež tvoří hlavní mechanismus (80 %), a *divergence ultrazvukového pole* způsobená odrazem a rozptylem. Frekvenční závislost absorpce je dána viskozitou média, relaxačním časem a frekvencí ultrazvuku, a má typickou závislost znázorněnou na obrázku 3.3 vlevo. Závislost intenzity na dráze s uražené v homogenní tkáni je analogická exponenciálnímu zákonu pro X-záření (3.24)

$$I(s) = I_0 e^{-\beta s}, \quad (3.9)$$

kde  $I_0$  je počáteční intenzita ( $s = 0$ ),  $\beta$  je *absorpční koeficient*. Místo absorpčního koeficientu  $\beta$  se často udává *koeficient zeslabení*  $\alpha$  definovaný jako

$$\alpha = 10 \log \left. \frac{I_0}{I(s)} \right|_{s=1\text{ cm}}, \quad (3.10)$$



**Obrázek 3.3.** Vlevo: Frekvenční závislost absorpce ultrazvuku pro tkáň s relaxační frekvencí  $\omega$ . Vpravo: Závislost polotloušťky tkáně způsobující 50 % ztrátu intenzity na frekvenci pro typickou hodnotu  $\alpha/f \sim 1\text{dB}\cdot\text{cm}^{-1}\cdot\text{MHz}^{-1}$ . Převzato z [28].

a udávaný v  $\text{dB} \cdot \text{cm}^{-1}$ . Absorpční koeficient  $\beta$  a koeficient zeslabení  $\alpha$  jsou frekvenčně závislé; pro některá běžná medicínská prostředí při frekvenci 1 MHz jsou uvedeny v tabulce 3.1. Důležitým experimentálním faktorem je, že mezi koeficientem absorpce  $\alpha$  a frekvencí je v medicínsky relevantním rozsahu ultrazvukových frekvencí přibližně lineární závislost; jinými slovy poměr  $\alpha/f$  je ve frekvenčním rozsahu 2.5–40 MHz přibližně konstantní. Jednotlivé tkáně jsou proto charakterizovány hodnotou  $\alpha/f$  udávanou v  $\text{dB} \cdot \text{cm}^{-1} \cdot \text{MHz}^{-1}$ , jejíž typická hodnota pro měkké tkáně je zhruba  $\sim 1 \text{dB} \cdot \text{cm}^{-1} \cdot \text{MHz}^{-1}$  (viz obrázek 3.3 vpravo).

Je-li útlum ultrazvuku v tkáni pro zobrazování nežádoucí jev, pak odraz (reflexe) je naopak jev, jenž je podstatou ultrazvukového zobrazování. V akustice se pro popis reflexe používá *akustické impedance*  $Z$ , veličiny definované jako

$$Z = \frac{p_{\text{ef}}}{v_{\text{ef}}} = \varrho c = \sqrt{K\varrho}, \quad (3.11)$$

kde  $K$  je modul pružnosti prostředí [20]. Je zkonstruována z akustického tlaku a akustické rychlosti analogickým způsobem jako elektrický odpor z napětí a proudu v Ohmově zákonu. Typické hodnoty pro některé medicínsky relevantní tkáně jsou v tabulce 3.1. Akustická impedance hraje důležitou roli při popisu chování ultrazvuku na rozhraní dvou různých tkání.

Rozlišujeme *zrcadlový odraz* na hladkém rozhraní<sup>5</sup> mezi dvěma tkáněmi s různou akustickou impedancí. Pro kolmý dopad je zrcadlový odraz znázorněn na obrázku 3.4 vlevo. Vztah pro *reflexivitu* a *transmisivitu* lze pomocí akustické impedance psát ve tvaru (viz obrázek 3.4 pro význam veličin)

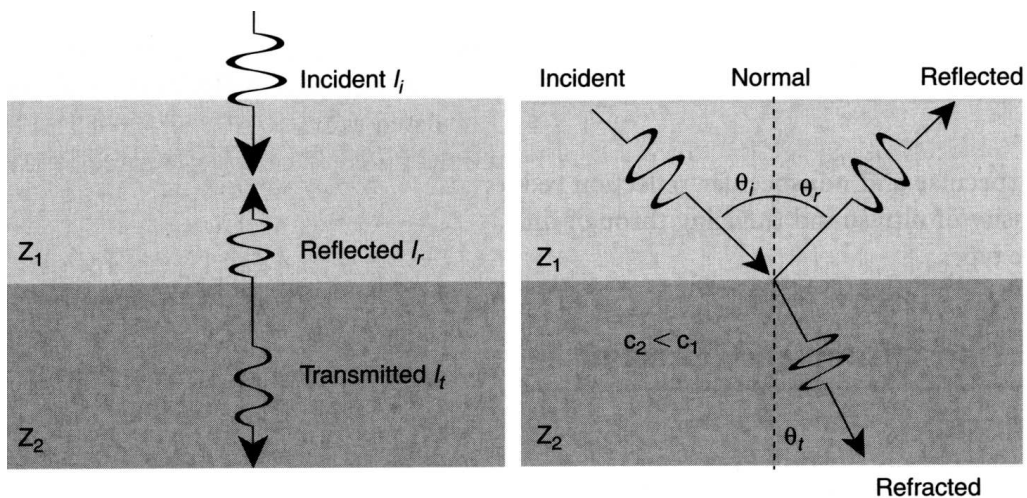
$$R \equiv \frac{I_r}{I_i} = \left( \frac{Z_1 - Z_2}{Z_1 + Z_2} \right)^2, \quad (3.12)$$

$$T \equiv \frac{I_t}{I_i} = \frac{4Z_1 Z_2}{(Z_1 + Z_2)^2}. \quad (3.13)$$

Snadno se ověří, že  $R + T = 1$ , jak vyžaduje splnění zákona zachování energie. Při průchodu rozhraním vzduch-tuk s podstatně odlišnými akustickými impedancemi se podle údajů v tabulce 3.1 a vztahů (3.12) a (3.13) odrazí  $R = 99.9\%$  intenzity (jedná se o *echogenní strukturu*), zatímco při průchodu rozhraním játra-ledviny s velmi podobnými akustickými impedancemi se odrazí pouze  $R = 0.0085\%$  intenzity a  $T = 99.9915\%$  intenzity prochází.

---

<sup>5</sup> Hladkým rozhraním rozumíme rozhraní, jehož nepravidelnosti jsou velmi malé ve srovnání s vlnovou délkou  $\lambda$  ultrazvukového svazku; např. pro frekvenci 2 MHz je v měkké tkáni  $\lambda = 0.75 \text{ mm}$ .



**Obrázek 3.4.** Vlevo: Odraz ultrazvukového svazku dopadajícího kolmo na hladké rozhraní mezi dvěma tkáněmi o akustických impedancích  $Z_1$  a  $Z_2$ . Intenzita dopadajícího svazku  $I_i$  se rozdělí mezi prošlý svazek  $I_t$  a odražený svazek  $I_r$ . Rozdělení intenzit závisí na akustických impedancích tkání  $Z_1$  a  $Z_2$  podle vztahů (3.12) a (3.13). Vpravo: Při dopadu pod nenulovým úhlem  $\theta_i$  dochází ke změně směru šíření prošlého svazku. Pro úhly lomu  $\theta_t$  a odrazu  $\theta_r$  platí analogické zákony jako v optice, zákon odrazu (3.14) a zákon lomu (3.15). Převzato z [28].

Při průchodu rozhraním s nepravidelnostmi nebo strukturou o velikosti srovnatelné s vlnovou délkou ultrazvuku, nebo při průchodu granulózním prostředím (krevní částice), dochází k *difrakčnímu jevu — rozptylu*. Rozptylené ultrazvukové vlnění formuje kužel, jehož vrcholový úhel závisí nepřímo úměrně na vlnové délce  $\lambda$  a přímo úměrně na charakteristické velikostní škále nepravidelností rozhraní. Rozptyl se také zvětšuje s rostoucím úhlem dopadu a jeho intenzita je úměrná  $f^4$ . Rozptyl nemusí být nutně jen parazitním jevem; charakteristické interferenční obrazce nazývané *speckle* totiž svým tvarem odpovídají určité morfologii rozhraní a mohou tak detektovat patologii projevující se právě změnou morfologie rozhraní — příkladem je diagnostika onemocnění jater. Difrakce se také projevuje obrazovými artefakty velikosti řádově vlnové délky použitého ultrazvuku při průchodu svazku kolem náhlých akustických stínění jako například kosti.

Kromě kolmého odrazu se při průchodu rozhraním pod nenulovým úhlem dopadu  $\theta_i$  uplatňují zákony analogické zákonům geometrické optiky (viz obrázek 3.4 vpravo), konkrétně známý *zákon odrazu*

$$\theta_r = \theta_i \quad (3.14)$$

a Snellův zákon lomu

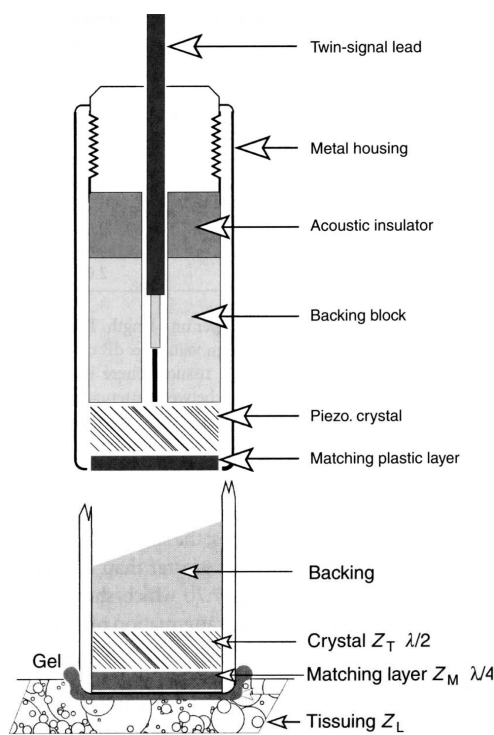
$$\frac{\sin \theta_i}{v_i} = \frac{\sin \theta_t}{v_t}, \quad (3.15)$$

kde  $v_i$  ( $v_t$ ) je fázová rychlosť ultrazvuku v prostredí dopadajúceho (prošlého) svazku.

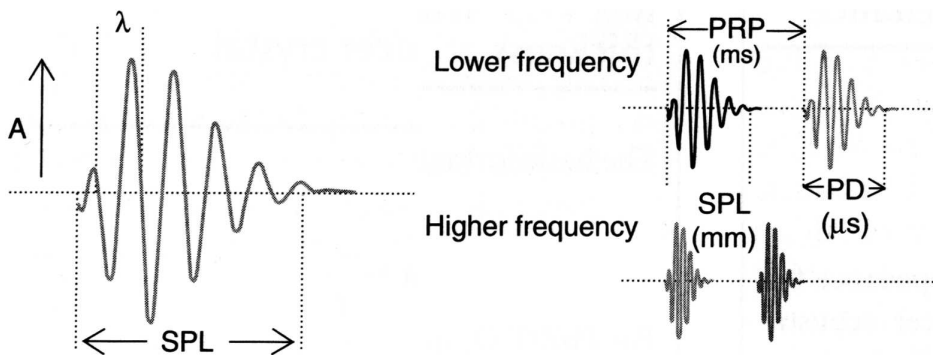
### 3.1.2. Ultrazvuková sonda

Ultrazvuková sonda (též ultrazvukový transducer) premenňuje energiu elektrických pulsov pribívadencích z generátora do sondy na energiu ultrazvukových vln vysílaných do vyšetrovaného objektu, a opačne, dokáže premenňovať energiu ultrazvukových odrazov pricházejúcich z nitra vyšetrovaného objektu na ďalej zpracovateľný elektrický signál. Je obvykle založena na piezoelektrickom jevu, jenž umožňuje uvedený „oboustranný“ prevod. Základné konstrukčné schéma piezoelektrické ultrazvukovej sondy je na obrázku 3.5.

Ultrazvukové pulsy vytvárené sondou sú veľmi krátké — obvykle obsahujú len dvä až tri vlny. Typický tvar pulsu je na obrázku 3.6. V Dodatku D je ukázano, že čím více zkráťme trvání pulsu (PD), tím je spektrum širšie. Záleží také na obálke (tvaru) pulsu — tvar by sa měl alespoň približovať Gaussově křivce, aby byly



**Obrázek 3.5.** Schéma konstrukcie ultrazvukovej sondy. Nahoře: Základem je piezoelektrický krystal (obvykle Pb Zr Ti O<sub>4</sub>) o tloušťke optimálne  $\lambda/2$ , pokrytý přizpůsobovací vrstvou (Matching plastic layer). Pro optimální prenos ultrazvuku z piezokrystalu by akustická impedance  $Z_M$  této vrstvy měla být geometrickým průměrem  $Z_M = \sqrt{Z_T Z_L}$  akustické impedance piezokrystalu  $Z_T$  a tkáně  $Z_L$ , a její tloušťka by měla být rovna čtvrtině vlnové délky. Za piezokrystalem se nachází tlumící blok (Backing block) z jemných wolframových částeček suspendovaných v epoxidové pryskyřici (wolframové částečky rozptylují ultrazvuk, jenž je pak v pryskyřici pohlcován). Dole: Mezi sondu a pokožku či iný povrch vyšetrovaného pacienta se nanáší tenká vrstva kontaktívneho gelu. Převzato z [28].



**Obrázek 3.6.** Geometrie ultrazvukových pulsů. Vlevo: Ultrazvukový puls obsahující tři cykly o vlnové délce  $\lambda$  s vhodně tvarovanou obálkou. Zkratka SPL značí *Spatial Pulse Length* (prostorovou délku pulsu), typická hodnota je 0.45 mm až 2.25 mm. Vpravo: Po-dobně PD značí *Pulse Duration* neboli trvání pulsu, které bývá v rozmezí 0.5  $\mu$ s až 3  $\mu$ s, PRP značí *Pulse Repetition Period* neboli opakovací periodu pulsů, která bývá v řádu ms, případně PRF = 1/PRP *Pulse Repetition Frequency* značí opakovací frekvenci pulsů.

Převzato z [28].

potlačeny oscilační laloky vzdálené od základní frekvence. Opakovací frekvence pulsů (PRP) je řádově tisíc krát větší než trvání pulsu (PD), protože po vyslání každého pulsu se sonda přepne do „naslouchacího“ režimu, v němž registruje ultrazvuková echa přicházející z nitra vyšetřovaného pacienta, než opět vyšle krátký puls. Tento cyklus se neustále opakuje. Vzhledem k proporcím mezi PD a PRP je sonda zhruba 99.9 % času v naslouchacím režimu.

Opakovací frekvence PRF jednoduše souvisí s maximální hloubkou obrazu  $D$ : čas potřebný na proniknutí ultrazvuku do hloubky  $D$  a na návrat zpět do sondy je  $2D/c$ . Aby sonda byla ještě schopna detektovat příslušnost echa k vyslanému pulsu, musí být opakovací perioda PRP delší než  $2D/c$ . Z této úvahy dostáváme

$$\text{PRF} < \frac{c}{2D}. \quad (3.16)$$

Pro hloubku penetrace 150 mm a  $c \approx 1500 \text{ m}\cdot\text{s}^{-1}$  máme  $\text{PRF} \approx 5 \text{ kHz}$ . Typické hodnoty pro ultrazvukovou sonografii jsou  $\text{PRF} \approx 2\text{--}10 \text{ kHz}$ . Opakovací frekvence (perioda) musí být adekvátní hloubce obrazu, příliš krátká PRP může způsobit detekci echa z předchozích pulsů a působit falešná zobrazení.

Frekvenční spektrum ultrazvukových pulsů má tvar Gaussovy křivky; faktor kvality piezokrystalu  $Q$  je dán poměrem rezonanční frekvence  $f_R$ , na níž má tato křivka maximum, a šířky křivky  $\Delta f$  (rozdílu frekvencí, pro něž spektrální

křivka poklesne na  $1/\sqrt{2} \approx 0.707$  maxima  $f_R$ , viz obrázek 3.7 vlevo):

$$Q = \frac{f_R}{\Delta f} . \quad (3.17)$$

Sondy s nižším  $Q$  (tj. širším spektrem a krátkými pulsy) se používají pro ultrazvukové zobrazování, kde potřebujeme pro dobré rozlišení co nejkratší SPL pro co nejvyšší *axiální rozlišovací schopnost* (ta se obvykle definuje jako SPL/2, je tedy typicky 0.2 mm až 1.2 mm) a nezáleží příliš na přesné frekvenci. Naopak sondy s vyšším  $Q$  se používají v dopplerovské sonografii (viz níže), kde záleží na přesné frekvenci a délka trvání pulsu může být velká (nebo kontinuální).

Tvar akustické apertury (profil ultrazvukového pole) je vhodné upravit tak, aby víceméně kopíroval Gaussovou křivku, opět z důvodů zřejmých z Dodatku D. Při obdélníkovém profilu bychom totiž dostali, jak už to u zdrojů vlnění bývá, kromě hlavního laloku navíc *postranní laloky*, které by způsobovaly degradaci kontrastu a rozlišení. Přizpůsobení akustické apertury se nazývá *apodizace* a její výsledek je na obrázku 3.7 vpravo. Apodizace se dosahuje tvarovanými akustickými čočkami a dynamickou fokusací (viz níže a obrázek 3.9).

Na závěr si všimneme chování ultrazvukového pole podél směru šíření, jež má vliv na *stranovou (laterální) rozlišovací schopnost*. Pole lze rozdělit do dvou oblastí: na *blízkou (Fresnelovu)* zónu a na *vzdálenou (Fraunhoferovu)* zónu (viz obrázek 3.8). Zatímco ve Fresnelově zóně o délce

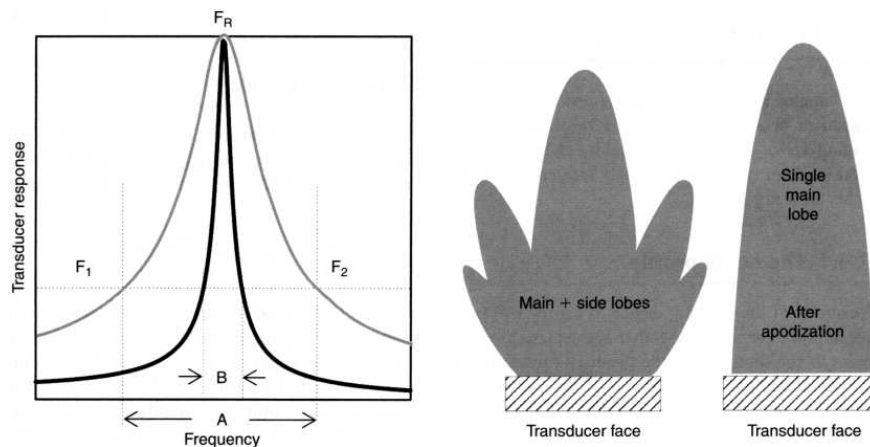
$$\ell_{\text{near}} = \frac{a^2}{\lambda} , \quad (3.18)$$

kde  $a$  je poloměr sondy, zachovává pole šířku sondy, ve vzdálené zóně se stává divergentním s úhlem divergence

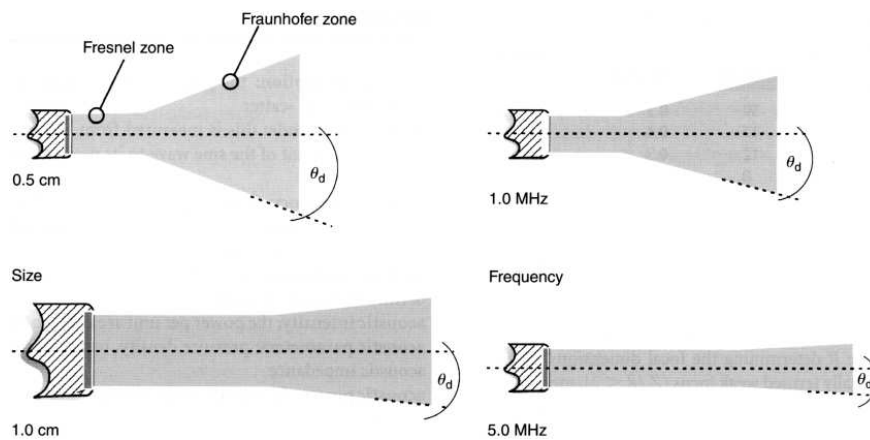
$$\theta_d = \arcsin \left( \frac{0.61\lambda}{a} \right) . \quad (3.19)$$

Pro lepší laterální rozlišení ve velkých hloubkách potřebujeme širší sondu a vysokou frekvenci, aby blízká zóna byla co nejdelší. V praxi je však nutné volit kompromisní hodnoty a přihlížet k dalším aspektům šíření ultrazvuku v tkáni, zejména k faktu, že s rostoucí frekvencí roste útlum. Například v oftalmologii stačí jen velmi mělká hloubka a sonda má rovněž malý rozměr, takže se používá ve srovnání s ostatními aplikacemi ultrazvukového zobrazování vyšších frekvencí.

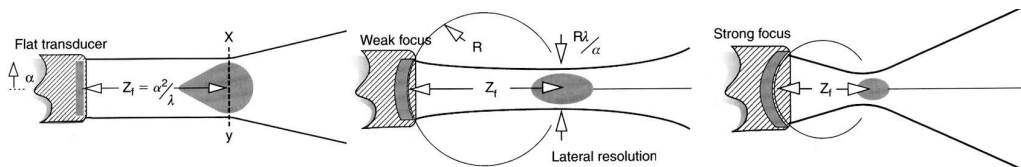
Laterální rozlišení lze ovlivnit vhodným tvarováním (fokusací) sondy, jak je vidět z obrázku 3.9.



**Obrázek 3.7.** Vlevo: Rozdíl  $\Delta f$  frekvencí, pro něž spektrální křivka poklesne na  $1/\sqrt{2} f_R \approx 0.707 f_R$ . Spektrum sondy s vysokým  $Q$  (malým  $\Delta f = B$ ) je vyznačeno černě, spektrum sondy s nízkým  $Q$  (vysokým  $\Delta f = A$ ) je vyznačeno šedě. Vpravo: Potlačení postranních laloků pomocí apodizace. Převzato z [28].



**Obrázek 3.8.** Ilustrace změny Fresnelovy a Fraunhoferovy zóny v závislosti na rozměru ultrazvuk produkovacího elementu sondy a na frekvenci. Převzato z [28].



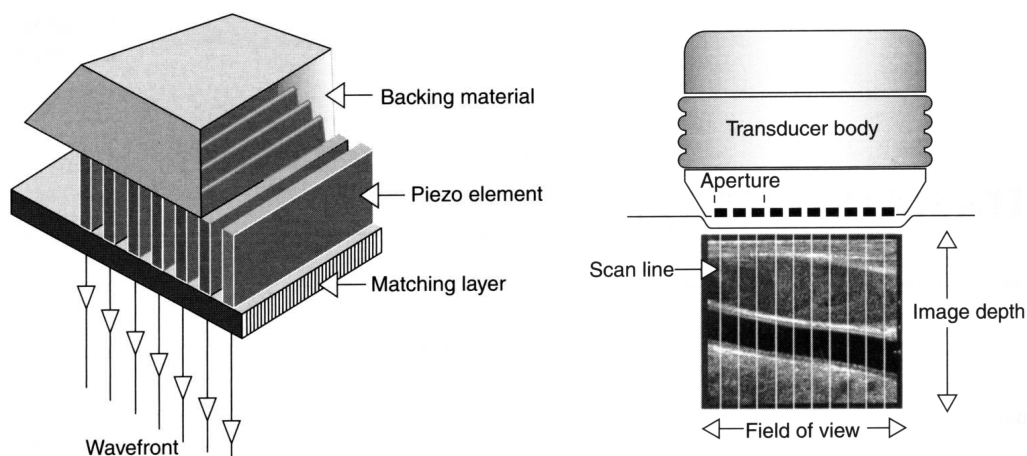
**Obrázek 3.9.** Vliv fokusace ultrazvukové sondy na tvar ultrazvukového pole. Zleva doprava: plochá sonda, slabě fokusovaná ( $\ell_{\text{near}}/R < 2$ ) a silně fokusovaná ( $\ell_{\text{near}}/R \approx 3-4$ ). Veličina  $\alpha$  na obrázku odpovídá poloměru sondy  $a$ . Převzato z [28].

### 3.1.3. Klinické zobrazování pomocí ultrazvuku

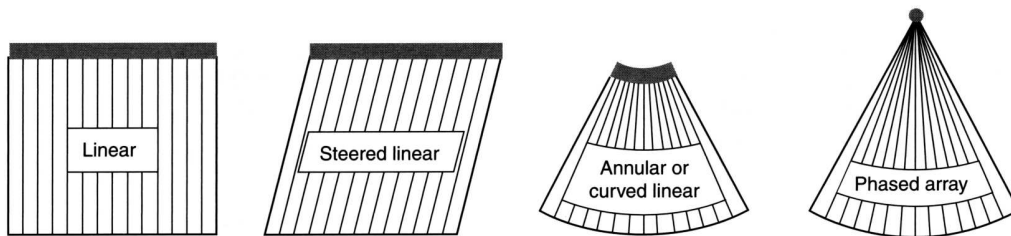
Skutečná konstrukce současných ultrazvukových sond využívá ne jeniný piezokrystal, nýbrž soustavu (array) až 128 piezokrystalů (elementů), jejichž separátním napájením elektrickými pulsy lze dosáhnout mnohem lepších výsledků a variability než s použitím jednoho elementu. Mohou pracovat v tzv. *B-módu* poskytujícím 2D průřez vyšetřovaným objektem ve stupních šedi, a *M-módu*, kde zobrazujeme jeden prostorový rozměr versus čas (používá se při sledování pohybu srdečních chlopní apod.).<sup>6</sup>

Soustava elementů lineární multielementové ultrazvukové sondy je znázorněna na obrázku 3.10. Základní konstrukční varianty sond jsou *sekvenční* (spínáné) sondy a *fázové* (fázově řízené) sondy (obrázek 3.11). Toto rozdělení je poněkud umělé, neboť v obou případech se využívá vhodně časovaného napájení soustavy elementů elektrickými impulsy vyvolávajícími jejich ultrazvukové vibrace. Podle Huygensova principu tak lze dosáhnout posuvu svazku, fokusace, naklánění a tvarování vlnoplochy. Princip činnosti soustav elementů ultrazvukových sond osvětlují obrázky 3.12 a 3.13. Příklad a výstup sekvenční sondy je na obrázku 3.14, fázové sondy na obrázku 3.15. Fázově řízené sondy mají oproti sekvenčním sondám menší rozměry a mohou tak být využity pro vnitřní použití (rekturn, vagina, jícen).

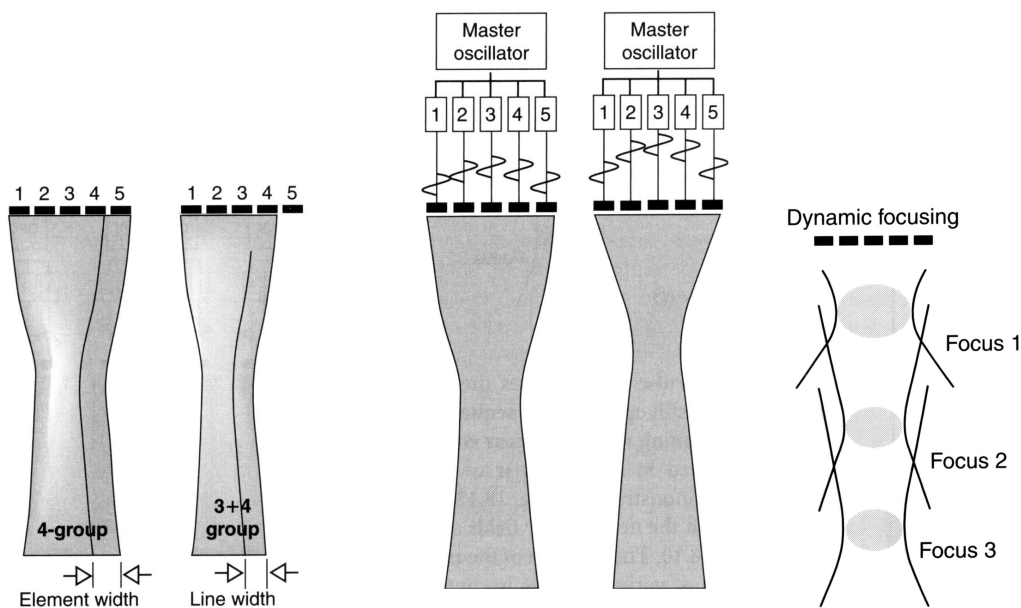
<sup>6</sup> Označení módů pochází z „Brightness (jasová) modulation“ a „Movement (pohybová) modulation“.



**Obrázek 3.10.** Základní schéma multielementové lineární ultrazvukové sondy. Vlevo: Jednotlivé piezoelementy se společnou přizpůsobovací vrstvou a tlumicím materiálem. Vpravo: Multielementová lineární sonda a její „zorné pole“. Převzato z [28].



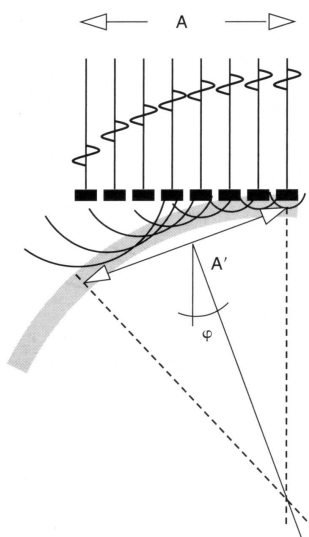
**Obrázek 3.11.** Ultrazvuková skenovací pole různých typů sond. Vlevo a druhá zleva: sekvenční lineární a lineární šikmá sonda. Třetí zleva: sekvenční konvexní sonda. Dole vpravo: fázově řízená sonda. Převzato z [28].



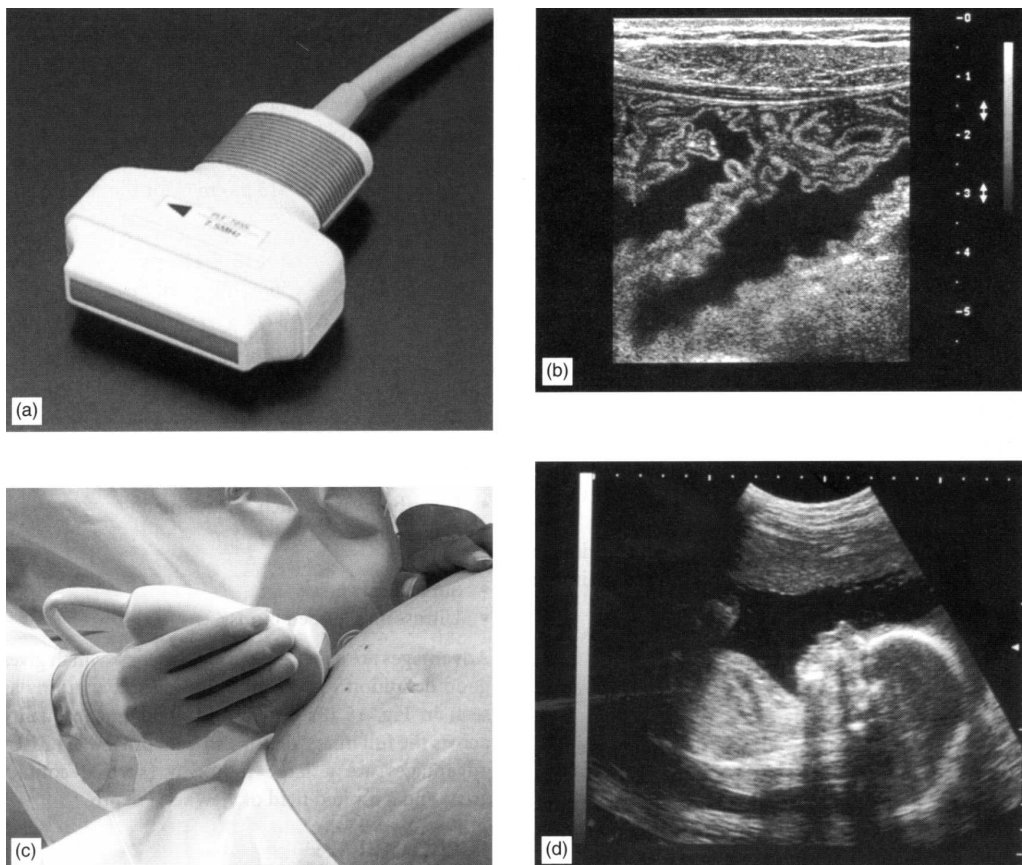
**Obrázek 3.12.** Vlevo: Posun apertury sekvenční sondy. Během činnosti sondy funguje současně vždy jen skupina několika piezoelementů, a tato skupina se přepínáním elementů posouvá podél celé délky sondy. Jakmile dojde na konec soustavy elementů, proces začne znova z opačného konce sondy. Zjemnění posuvu na polovinu šířky elementu se dá dosáhnout připojováním jediného elementu k aktivní skupině. Uprostřed a vpravo: Změnou časování napájení piezoelementů ve skupině lze ovlivňovat hloubku fokusace. Převzato z [28].

Existují další modifikace jako například anulární sonda, jejíž elementy tvoří soustředné kruhy (viz [28]).

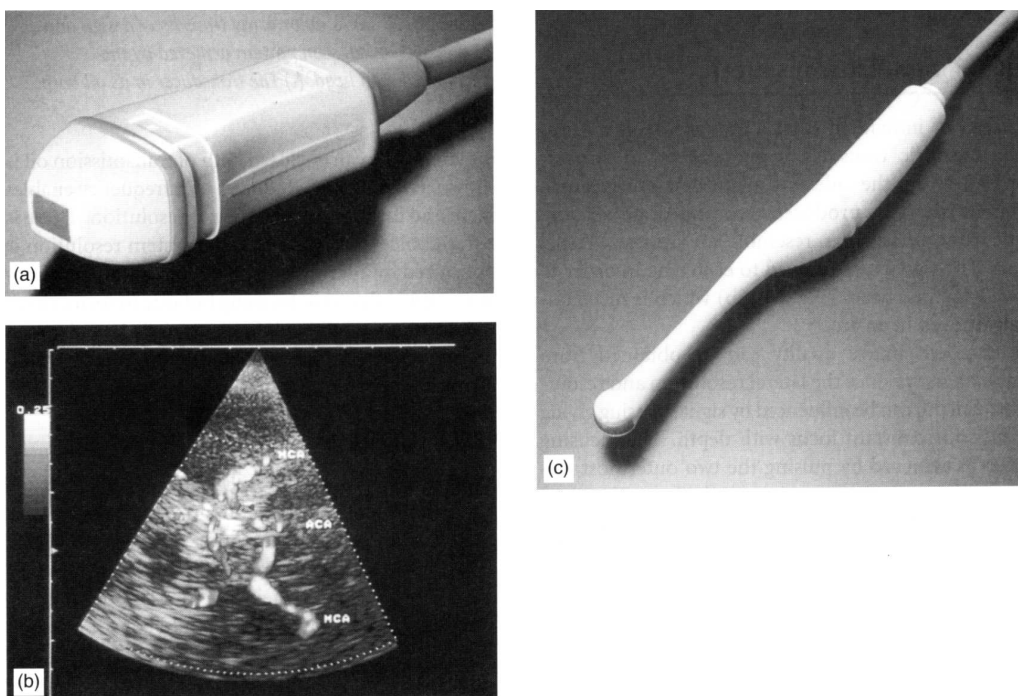
Principiální schéma zpracování obrazu podává obrázek 3.16. Jádrem *pulseru* jsou systémové hodiny (*clock*) ovládající veškeré časování (PRF, příjem dat z odraženého signálu, synchronizace dynamické fokusace, řízení dynamické



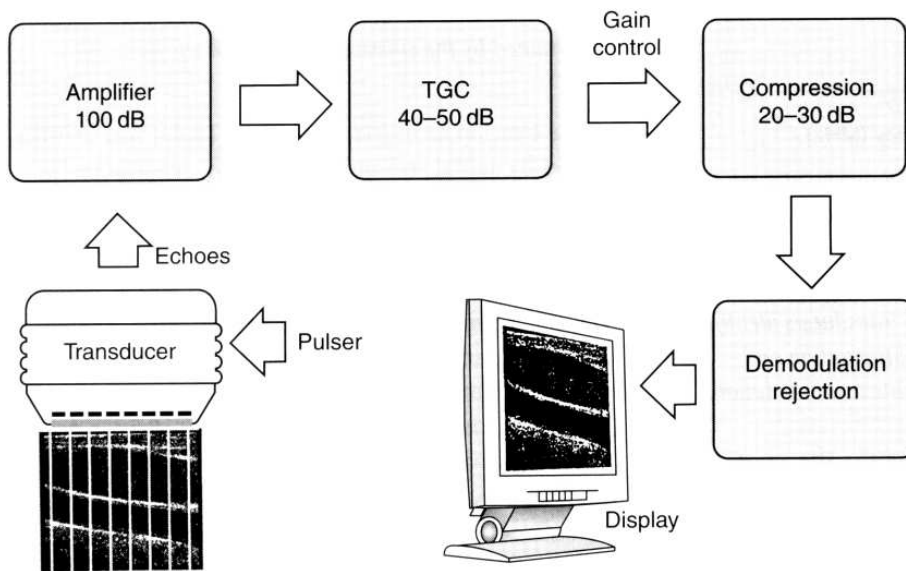
**Obrázek 3.13.** Princip fázově řízené sondy. Pro dosažení velkých úhlů odklonu  $\varphi$  je třeba, aby rozměry piezoelementů byly malé, okolo  $\lambda/2$ . Nelineárním časováním pulsů pak lze dosáhnout zakřivení vlnoplochy. Na rozdíl od sekvenčních sond pracují všechny elementy najednou. Efektivní apertura  $A'$  je rovna  $A \cos \varphi$ , kde  $A$  je totální apertura. Fázově řízené sondy mají menší počet elementů než sekvenční sondy, jsou menší a vhodnější pro obtížně přístupná místa. Převzato z [28].



**Obrázek 3.14.** (a) Sekvenční lineární sonda; (b) a jí vytvořený klinický obraz. (c) Sekvenční konvexní (sektorová) sonda (d) a jí vytvořený klinický obraz. Převzato z [28].



**Obrázek 3.15.** (a) Sonda s fázově řízenou soustavou elementů (b) Příklad zobrazení fázově řízenou sondou. (c) Fázově řízená sonda pro vnitřní vyšetření. Převzato z [28].



**Obrázek 3.16.** Zjednodušený blokový diagram zpracování signálu v ultrazvukové sonografii. Blíže viz text. Převzato z [28].

aperture). Dále pulser obsahuje zdroj elektrických pulsů, jež jsou na základě časování dodávány do piezoelektrických elementů sondy; typické napětí je od 5 V do několika set voltů.<sup>7</sup>

Většinu času — mimo vysílání krátkých ultrazvukových pulsů — je sonda přepnuta do přijímacího módu, v němž se ultrazvuková echo přicházející z nitra pacienta v elementech sondy přeměňují na elektrický signál o napětí řádu  $\mu\text{V}$ , jež je třeba nejprve lineárně zesílit na napětí řádu mV schopné dalšího zpracování.

Echa přicházející z větších hloubek těla pacienta mají v důsledku útlumu ultrazvuku při průchodu tkání menší amplitudu. Úkolem TGC (*time gain compensation*) je selektivní zesílení podle času návratu echo, a následně tedy podle hloubky a útlumu. Čím delší čas, tím větší hloubka a útlum, a tím větší zesílení musí jednotka TGC aplikovat.

Z TGC signál je dynamický rozsah signálu upraven v jednotce pro kompresi, jež aplikuje logaritmicky nelineární zesílení — slabé signály (10 až 20  $\mu\text{V}$ ) jsou zesilovány více než silnější signály (70 až 80  $\mu\text{V}$ ). Dynamika signálu se tím redukuje na cca 20 až 30 dB příhodnější pro další zpracování.

Předzpracování končí demodulační a prahovací jednotkou, v níž se určí obálky pro jednotlivá echo a ta, jejichž amplituda leží pod jistou prahovou hodnotou a která nesou většinou jen akustický nebo elektronický šum, se potlačí. Nejmodernější přístroje využívají nejen amplitudovou informaci, ale i fázi echo, a zlepšují tím odstup signálu od šumu (SNR) a dynamický rozsah [28].

*Diskretizace* signálu sestává jednak ze vzorkování, kdy se síle echo určitého elementu sondy přiřadí určitá kvantizovaná hodnota, obvykle v rozsahu 6, 7 nebo 8-bitového celého čísla.<sup>8</sup> Mapování síly echo na rozsah úrovní šedi může být proměnný, např. na stejný rozsah úrovní šedi se může lineárně mapovat síla echo v rozsahu 0 až 60 dB nebo jen 30 až 60 dB, čímž lze vybírat zobrazování struktur podle oblasti zájmu. Vzorkování např. u 128-elementových sekvenčních sond se provádí na obrazovou matici  $256 \times 256$ , v níž ultrazvukový svazek 1 zabírá sloupce 1 a 2, svazek 2 zabírá sloupce 3 a 4, atd. Hloubka vypočtená z doby návratu echo je vzorkována do 256 řádků obrazové matice (obrázek 3.10).

### 3.1.4. Ultrazvukové dopplerovské zobrazování

Ultrazvukové dopplerovské zobrazování využívá známého *Dopplerova posuvu*.<sup>9</sup> Dopadá-li na nepohyblivý objekt záření o frekvenci  $f_0$ , odráží se od něj se

<sup>7</sup> Piezoelektrické materiály snesou elektrické pole do cca  $1 \text{ kV} \cdot \text{mm}^{-1}$ .

<sup>8</sup> To odpovídá 64, 128 nebo 256 úrovní šedi.

<sup>9</sup> CHRISTIAN A. DOPPLER (1803–1853), rakouský astronom a matematik, od roku 1835 působící v Praze.

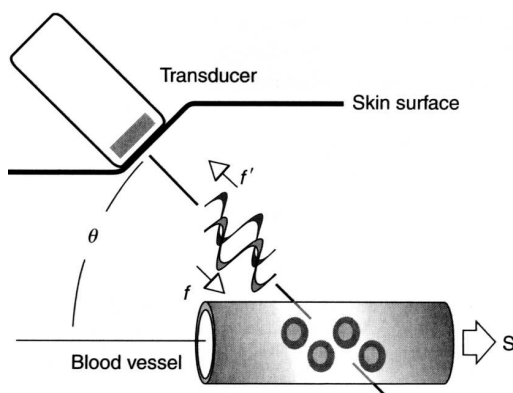
stejnou frekvencí. Pohybuje-li se však objekt rychlostí o velikosti  $v$  a svírá-li směr dopadajícího záření se směrem rychlosti úhel  $\theta$ , dojde ke změně frekvence odraženého záření o

$$\Delta f_D = -\frac{2f_0v}{c} \cos \theta , \quad (3.20)$$

kde  $c$  je rychlosť šíření záření. Pro radiálně se vzdalující objekt máme  $\theta = 0$  a  $\Delta f_D = -2f_0v/c$  (přijímaná frekvence je nižší než vysílaná), pro radiálně se přibližující objekt máme  $\theta = 180^\circ$  a  $\Delta f_D = +2f_0v/c$  (přijímaná frekvence je vyšší než vysílaná).

Aplikujeme-li Dopplerův posuv na ultrazvuk a vezmeme-li jako pohybující se objekt krev (resp. krevní částice unášené krví, na nichž se ultrazvuk rozptyluje) proudící cévami, dostaneme pro charakteristickou rychlosť proudění krve  $20 \text{ cm} \cdot \text{s}^{-1}$ , frekvenci ultrazvuku  $5 \text{ MHz}$  a úhel  $\theta$  rovný  $60^\circ$  ( $45^\circ$ ), a rychlosť ultrazvuku v krvi  $1.57 \times 10^5 \text{ cm} \cdot \text{s}^{-1}$  (viz tabulka 3.1), obdržíme hodnoty Dopplerova posuvu  $637 \text{ Hz}$  ( $900 \text{ Hz}$ ), tj. v akustické oblasti. Ultrazvukové měřiče rychlosťi proudění krve elektronicky mixují vysílaný signál o frekvenci  $f$  a přijímaný signál o frekvenci  $f' = f + \Delta f_D$  za vzniku záznějů (rozdílového kmitočtu) o frekvenci  $\Delta f_D$ , z nichž se dá pomocí (3.20) vypočítat průměr rychlosťi proudění do směru šíření ultrazvuku  $v \cos \theta$  (viz obrázek 3.17).

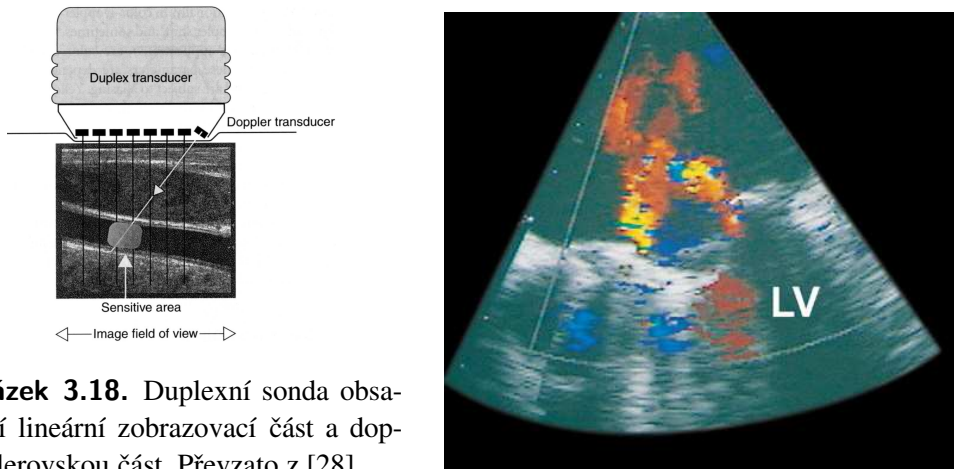
Požadavek na ultrazvuk používaný v dopplerovských průtokoměrech je protichůdný požadavku pro zobrazování: potřebujeme dobře definovanou frekvenci, takže puls (PD) musí být delší. Také se dává přednost vyšším frekvencím, jednak



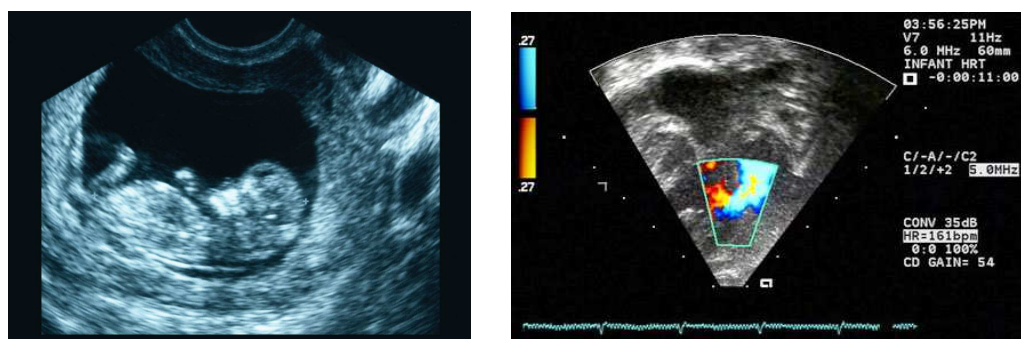
**Obrázek 3.17.** Základní geometrie dopplerovského měření průtoku. Směr šíření dopadajícího ultrazvukového vlnění o frekvenci  $f$  svírá se směrem rychlosťi (označeno jako  $S$ ) úhel  $\theta$ . Echa odražená proudící krví mají frekvenci  $f'$  lišící se od  $f$  Dopplerovým posuvem (3.20). Převzato z [28].

kvůli většímu absolutnímu Dopplerovu posuvu a také pro  $f^4$ -závislost rozptylu na krevních částicích. Je však třeba mít na paměti, že s rostoucí frekvencí roste také útlum a hloubka vniku.

Dopplerovské metody se dělí na *spojité (kontinuální) a pulsní*. Spojité metody používají akusticky odděleného vysílače a přijímače. Vysílač spojité generuje ultrazvukové pole a nelze jej přepínat do režimu přijímače. Základním výstupem je zobrazení časové závislosti rychlosti krve, nelze však rozlišit uspořádání a umístění sledovaných cév, neboť kontinuální režim neumožňuje měřit vzdálenosti. Navíc měření absolutní hodnoty rychlosti je pouze orientační, protože nelze určit úhel  $\theta$ . Spojité metody se využívají zejména ke sledování toku krve v horních a dolních končetinách. Bývají vybaveny akustickým výstupem ( $\Delta f_D$  leží ve slyšitelné akustické oblasti), jenž výrazně přispívá k základní orientaci o průtokových poměrech ve sledované části krevního řečiště.



**Obrázek 3.18.** Duplexní sonda obsahující lineární zobrazovací část a dopplerovskou část. Převzato z [28].



**Obrázek 3.19.** Ukázky moderních sonografických výstupů. *Vlevo:* Zobrazení lidského plodu v děloze. *Uprostřed:* Diagnostika přes jícen. *Vpravo:* Vyšetření srdce plodu. Převzato z <http://www.sti-ultrasound.com/>, <http://www.southbaycardio.com/>, <http://www.engineering.ualberta.ca/>.

*Pulsní dopplerovské metody* se využívají téměř výhradně v kombinaci s echografickými metodami (*duplexní zobrazování*), neboť využívají stejné sondy. Pulsní režim ultrazvukových vln umožňuje sledovat časový i frekvenční posun odraženého vlnění, a zobrazovat jakou rychlosť měříme a kde ji měříme. Umožňují zobrazit směr toku krve a odečíst úhel  $\theta$ . Schéma konstrukčního řešení duplexní ultrazvukové sondy je na obrázku 3.18. Podle způsobu prezentace rychlosti na monitoru rozeznáváme režimy *CDI (Color Doppler Imaging)* nebo *CFM (Color Flow Mapping)*, v němž je rychlosti průtoku přiřazena barva (obvykle odstín červené), *spektrální dopplerovské zobrazení* zobrazující graf rychlostí v závislosti na čase, a *CDE (Color Doppler Energy)*, kdy se kromě rychlosti sleduje také intenzita odraženého echa, jež dává představu o hustotě pohybujících se krevních elementů a odpovídá „hustotě krvinek“.

Oblast ultrazvukové sonografie je dnes velmi dokonalá a propracovaná. Pro únosný rozsah jsme museli pominout některé zajímavé otázky jako odstraňování obrazových artefaktů, otázku bezpečnosti; tyto oblasti lze nastudovat např. z [28]. Zajímavý přehledový článek [30] shrnuje nejnovější pokroky v oblasti ultrazvukové sonografie. Na obrázku 3.19 jsou některé typické výstupy moderních ultrazvukových sonografů.

### 3.2. Digitální rentgen

Röntgenův objev slouží medicíně už více než celé století.<sup>10</sup> Záření X našlo uplatnění jak v diagnostice, tak v terapii, vznikl samostatný lékařský obor — radiologie. *Rentgenová diagnostika (skiagrafie, skiaskopie)* je nejstarší, nejrozšířenější a dosud patrně nejdůležitější aplikací ionizujícího záření v medicíně.

X-záření je elektromagnetické záření o vlnové délce 5 až 50 pm,<sup>11</sup> což odpovídá energii kvant záření v rozsahu 20 až 200 keV. Z hlediska použití v medicíně má tyto podstatné vlastnosti:

- Má vysokou pronikavost látkami;
- způsobuje ionizace a excitace atomů absorbátoru;
- vyvolává fluorescenci (v určitých materiálech);
- působí na fotografickou emulzi, má biologické účinky (v současné době se stále rozvíjejí metody, umožňující snížit intenzitu záření při stejné diagnostické účinnosti, aby se co nejvíce předešlo vedlejším nežádoucím účinkům záření).

<sup>10</sup> Více o objevu X-záření viz Dodatek C na stránce C.1.

<sup>11</sup> To je řádově  $10^7 \times$  kratší vlnová délka než v případě ultrazvukové sonografie.